## 原 著

Dimethyl-para-phenylenediamine (DPPD) 投与ラットにおける骨格筋病変の酵素組織化学 的観察

## 井 門 愼 介

信州大学医学部第二病理学教室 (指導:那須 毅教授)

ENZYME HISTOCHEMICAL STUDIES ON THE LESION OF SKELETAL MUSCLE FIBERS OF RATS FOLLOWING AN ADMINISTRATION OF DIMETHYL-PARA-PHENYLENEDIAMINE (DPPD)

### Shinsuke IKADO

Department of Pathology, Faculty of Medicine.
Shinshu University
(Director: Prof. Tsuyoshi NASU)

IKADO, S. Enzyme histochemical studies on the lesion of skeletal muscle fibers of rats following an administration of dimethyl-para-phenylenediamine (DPPD). Shinshu Med. J., 27:704-722, 1979

The present experiments were performed to study the enzyme activities in regenerative skeletal muscle fibers of rats following an administration of dimethyl-para-phenylenediamine (DPPD). Succinate dehydrogenase, lactate dehydrogenase, NADH dehydrogenase, glucose-6-phosphate dehydrogenase, aldolase, creatine phosphokinase, adenosine triphosphatase, 5'-nucleotidase and acetylcholinesterase activities were examined histochemically in cryostat sections. Paraffin sections were stained with hematoxylin-eosin or methyl green-pyronine.

On 1-2 days after the injection of DPPD, degenerative and necrotic muscle fibers were scattered throughout materials. The degenerative fibers showed the irregular stainability of oxidative-reductive enzymes, but the phosphorylase activity disappeared in them. In the necrotic fibers such enzyme activities were almost absent, although moderate acetylcholinesterase activity still remained at several end-plates. The results of enzyme stains indicated that the degeneration of muscle fibers appeared predominantly in the type I fibers. On 3-4 days after the injection, numerous myogenic cells appeared around the unaltered muscle fibers. These cells showed slight oxidative-reductive enzyme reactions and marked pyroninophility. On 5-7 days after the injection, the myogenic cells formed regenerative muscle fibers, and they exhibited moderate oxidative-reductive enzyme activities. Alkaline phosphatase activity was also confirmed. Phosphorylase activity, on the other hand, did not reappear. On 8-10 days after the injection, the regenerative muscle fibers enlarged and oxidative-reductive enzyme activities significantly restored. Phospho-

## DPPD 筋障害病変の酵素組織化学的観察

rylase staining disclosed the checkerboard pattern. After 10 days, characteristics of the regenerative muscle fibers were almost similar to those of normal muscle fibers histomorphologically and histochemically. Throughout all stages, acid phosphatase and 5'-nucleotidase activities were not found in muscle fibers after treatment with DPPD.

In conclusion, the enzyme activities of the regenerating muscle fibers which were histochemically investigated almost corresponded with the morphological appearances, and they resembled those of the embryonic skeletal muscle fibers.

(Received for publication; August 28, 1979)

Key words: 再生筋線維 (regenerative muscle fiber) 筋原細胞 (myogenic cell) 胎生型の再生 (embryological type of regeneration)

## I 緒 言

現在一般的な筋炎としては、リウマチ性関節炎、リ ウマチ熱、驚皮症などに伴っておこる間質性多発性筋 炎や皮膚筋炎, 多発性筋炎がある口。筋組織の再生 力は、一般に弱いとはされているものの、筋炎の際に は筋線維の変性、壊死から再生に至るまでの変化に富 んだ過程が共存していることが知られている<sup>2)</sup>。これ ら筋炎の病態は現在でも完全には解明されておらず、 このため疾病本態の研究の一環として、種々の薬物を 使用した pharmacotoxic myopathy の研究が多数³) -11)おこなわれている。これらの myopathy の際にみ られる変性から再生に至る組織形態学的過程が胎生期 の筋組織発生に類似しているため、これを再生現象の "embryological type"という人 6) もいる。 再生現象 において重要な役割をするのは増殖能力のある細胞12) であり、筋組織の再生の場合には筋細胞や satellite cell の役割が重要である"。しかしながら hematoxylin-eosin, modified trichrome, periodic-acid Schiff などの一般染色や電顕的観察だけでは、これ ら細胞や組織全体の刻々に生起する形態的な変化をす べて適確にとらえることは難しいため、組織レベル で把握できる機能面での変化をも追究することが必要 となる。このため著者は、実験的筋障害を発生させ、 一般染色に加えて酵素組織化学的染色を施行し、筋線 維の変性から再生に至る過程を酵素の消長に表現され る,いわば機能面を中心に検索を試みた。

そこで Jasmin<sup>6)</sup>によって、dimethyl-para-phenyl-enediamine (以下 DPPD と略す) が骨格筋に変性、壊死をおこし、さらにそれが再生されることが報告されているのに注目し、著者もこの DPPD を Sakai<sup>7)</sup>

にならってラットに投与し、その際の再生過程を酵素 組織化学的に検索した。その結果、筋の再生過程にお ける酵素活性の推移が胎生期の筋発生の過程のそれに よく類似しており、構造面だけでなく細胞の機能面に おいても "embryological type of regeneration" の所見を得たのでその概要を記載するとともに、若干 の考察を加えた。

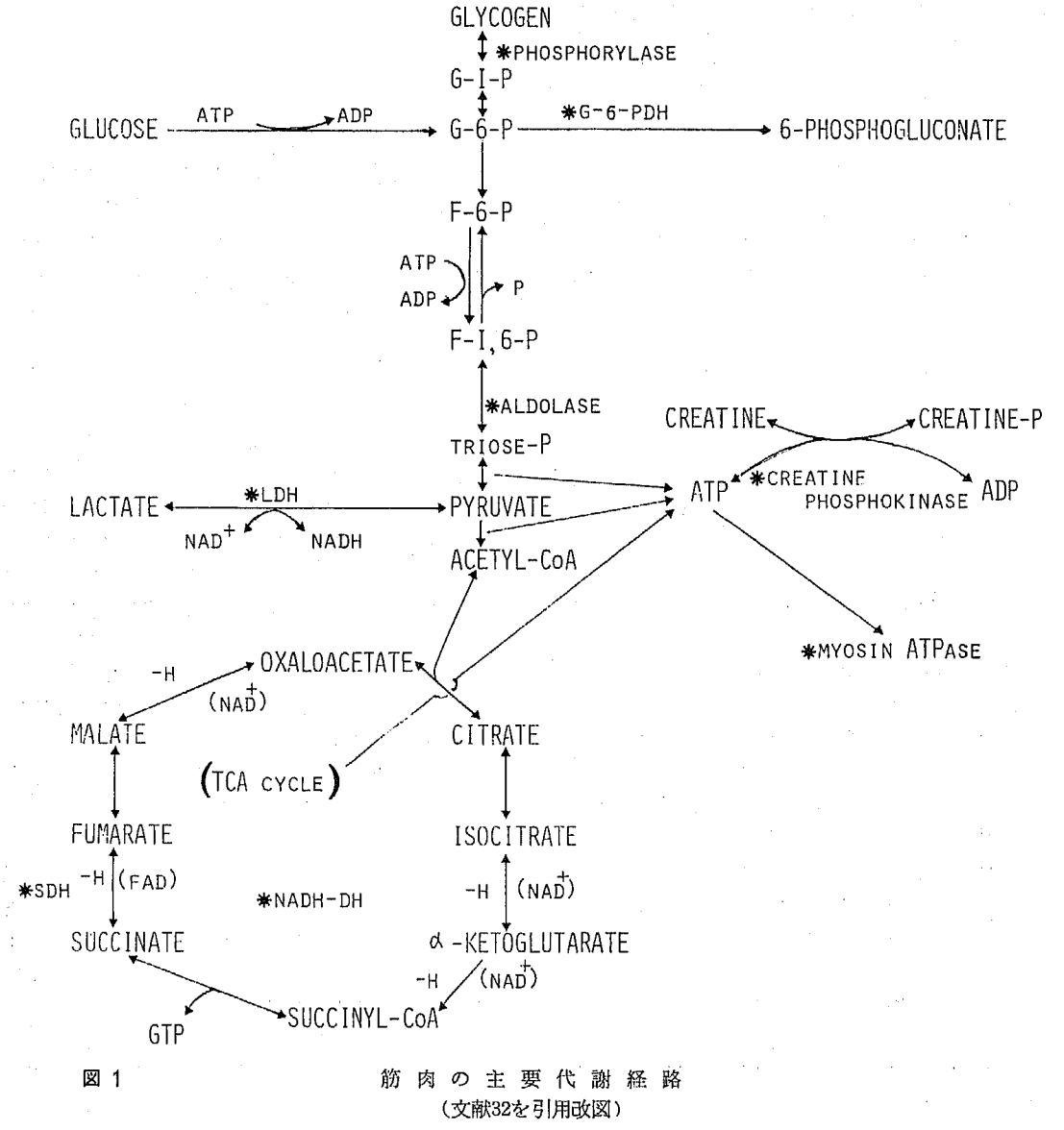
## Ⅱ 材料と方法

動物は 150~200gの Wistar 系ラット雌雄を計22 匹用いた。Sakai?)にならって、DPPD を生理的食塩 水に 1g/dl の比率で溶解し、これを ラットの腹腔内 に 10 mg/kg の割合で注射し、1、2、3、4、5、6、7、 8, 10, 12, 14日後にエーテル麻酔下で屠殺した。屠 殺後直ちに、横隔膜、腹直筋、大腿筋を採取し、超低 温槽で -80℃ に冷却した n-ヘキサンで凍結し、ク ライオスタットで薄切後 modified trichome 染色 (Engel と Cunningham<sup>13)</sup>)を施した。これを検鏡し、 凍結の良好なものをさらに連続的に薄切し、冷風下で 乾燥して切片を製作した。この切片を容器に容れ密封 後, -80°Cの超低温槽で保存し, 酵素組織化学的染色 をほぼ2週間内に行い,一部は約3ヶ月後に再染色を 行った。施行した酵素組織化学的反応は、酸化還元系 酵素としては lactate dehydrogenase (森14): LDHと 略す。), succinate dehydrogenase (Nachlas ら15): SDH), glucose-6-phosphate dehydrogenase (Rudolph と Klein<sup>16)</sup>: G-6-PDH) や NADH dehydrogenase (Farber ら<sup>17)</sup>: NADH-DH) などについてそ れぞれの染色法を行った。転移酵素としては creatine phosphokinase (岸野ら18): CPK), phosphorylase (武内19): PhR) 染色を行った。水解酵素としては acid phosphatase (Gomori<sup>20)</sup>: AcPase), alkaline phosphatase (Gomori<sup>21)</sup>: AlPase), 5'-nucleotidase (Wachstein と Meisel<sup>22)</sup>: 5'-N), adenosine triphosphatase (Padykula と Herman<sup>23)</sup>: myosin ATPase) の染色を, esteras として神経筋終板のacetylcholinesterase (Karnovsky と Roots<sup>24)</sup>: AChE) 染色を行った。他に aldolase (Abe と Shimizu<sup>25)</sup>) 染色を行った。またこの凍結切片を用いた

一般染色として modified trichrome 染色の他に periodic-acid Schiff (PAS) 染色を行った。

凍結切片以外に腹直筋の一部を10%中性ホルマリンに固定しパラフィン包埋後に hematoxylin-eosin (H. E.) 染色と methyl green-pyronine 染色を行った。

(図1に今回染色を行った主要酵素について代謝経路における作用部位を示す。)。



(\*は、本実験で検索した酵素。ただし G-6-PDH は、正常筋線維にはほとんどない。)

## Ⅱ 結 果

## A 一般染色の所見

以下 DPPD 投与後逐日的にその過程を記述する。

## 1. 1~2日(変性および壊死期)

投与1日後、筋線維の一部の横紋が消失しeosinに 強染する均質な硝子様塊が 散在性に出現する (写真 1)。この変性に陥った筋線維周囲の間質には、好中 球や形質細胞からなる炎症性細胞浸潤が軽度にみられ る。また凍結切片の modified trichrome 染色では、 正常筋線維は均一な緑色を呈するが、変性に陥った筋 線維は不規則な雲塊状の淡い緑色を呈する (写真2)。 2日後になると、硝子様変性や炎症性細胞浸潤はさら に強くなり、壊死に陥った筋線維も多数出現し、貪食 像も所々でみられる (写真5,7)。

## 2. 3~4日 (再生初期)

壊死筋線維の貪食像は依然見られるが、壊死筋線維の残った筋鞘下に大きな核小体を有する囊胞状の核を持ち、その胞体が著明な塩基好性を呈する単核の細胞(myogenic cell) が多数出現する(写真13, 15)。その後、これらの細胞は相接し、徐々にその細胞境界が不鮮明となり、胞体の細長い多核の再生筋細胞が形成され始める(写真13, 枠内)。

## 3.5~7日(再生中期)

再生筋線維を形成する多核の細長い再生筋細胞が多数出現し、その胞体は myogenic cell よりはやや弱いが、比較的強い塩基好性を呈する。またこの多核細胞は、核が中央で数珠玉状につらなり、その両側にまだ横紋のはっきりしない筋原線維が走り、形態的には胎生期の筋組織発生中にみられる myotube に非常に類似している(写真17,19)。凍結切片で PAS 染色を行うと、筋線維の横断面における interfibrillar network の網目様配列は完全ではないが、PAS 陽性物質が散在性に軽度に認められる(写真20)。

## 4,8~10日(再生後期)

再生筋線維には横紋が出現し始め、その巾も増大して、細胞質の塩基好性が減少する。核は筋鞘下へ移動し始め、中央に存在するものは少なくなる(写真32)。 PAS 染色では、正常筋線維の横断面にみられると同様な interfibrillar network が出現してくる(写真33)。また変性や壊死に陥った筋線維はほとんどみられなくなる。

## 5.10日以後

再生筋線維は横紋構造がより明瞭となり、成熟がほ

ぼ完了する。しかし一部にはまだ核が筋鞘下に達して いないものもごく少数ながら存する。また間質の線維 化などは全く認められない。

## B 酵素組織化学を中心とした所見

### 1. 変性筋線維(主に1日後)

凍結切片の modified trichrome 染色により淡緑色で不規則な雲塊状の染色性を呈した変性筋線維(写真2)は、その部における LDH、SDH、NADH-DH などの染色で不規則な活性分布を示している(写真3)。また myosin ATPase 染色でも不規則な活性あるいは陰性で、PhR 染色では全く陰性である(写真4)。このように酵素活性に異常がみられる変性筋線維は、酸化還元系酵素の多い type I fiber に比較的多い。

ここで PhR 活性について 2 つの注目すべき点があ る。まず最初に type I fiber では、PhR 活性が陰性 と言いながらも、その interfibrillar network を明確 に認めることのできる正常筋線維と、網目構造が全く みられず洗われたような陰性所見を呈する変性筋線維 とが同一切片上にみられることである(写真4)。次 に type II fiber での PhR 消失所見として,細胞浸 潤の強い病巣に接し modified trichrome 染色では一 見すると著変がみられない type II fiber において, 細胞浸潤の強い病巣側の PhR 活性が辺縁より帯状に 消失している像がある (写真9)。 ただしこの type II fiber における PhR 活性の帯状の消失像は、細胞 浸潤の強い病巣部に接している部のみに認められ、同 一切片上にある健常部の type II fiber にはみられな い。このように筋線維に変性を生じた場合、PhR 活 性は初期から異常分布が認められる。

AlPase 染色では、細胞浸潤の強い部分にある変性筋線維にごく軽度の活性を認める(写真10)。AlPase 染色や 5′-N 染色では、食食細胞や間質結合組織に活性をみるが、変性筋線維にはその活性を認めない(写真11)。

## 2. 壊死筋線維(主に2日後)

壊死に陥った筋線維における LDH, SDH, NADH-DH, aldolase, G-6-PDH, PhR, CPK などの活性はいずれも陰性であるか, 不規則にわずかながら陽性を示すのみである(写真 6)。しかし, myosin ATPase染色では貪食されている壊死筋線維において正常筋線維と同様な活性が残存しているものもある(写真 8)。神経筋終板の AChE 染色では, 細胞浸潤が著明で筋線維を認め難い部においても, 酵素活性部が散在性に残存している(写真12)。また壊死筋線維を貪食して

いる macrophage に、その機能亢進を表わすものと して、強い AcPase 活性があり、AlPase 活性も一部 の細胞に軽度に認めた(写真10,11)。

## 3. myogenic cell (3~4日後)

再生初期に出現する単核の myogenic cell は、methyl green-pyronine 染色を行うと、その胞体が強いピロニン好性を呈する (写真14)。凍結切片のLDH, SDH, NADH-DH などの酵素活性が核周囲の胞体に軽度に出現している (写真16)。また myosin ATPase 染色でも、同様にごく軽度の活性が見られる (写真16)。

#### 4. 再生筋線維 (5~7日後)

myogenic cell によって形成される胎生期の myotube 類似の幼若再生筋線維は、methyl green-pyronine 染色で、数珠玉状につらなった核周囲に強いピロニン好性を呈する(写真18)。再生筋線維では、myogenic cell に軽度にみられた LDH、SDH、NADH-DH、myosin ATPase などの諸酵素の活性がさらに強まり、aldolase、G-6-PDH、CPK などの活性も出現し、aldolase 染色では一部の核がごく軽度に染まる(写真21、22、23、24、25)。しかしながら PhR活性はほとんど認められない(写真26)。また比較的細い再生筋線維に AlPase 活性を軽度に示すものがある(写真27)。再生筋線維に諸酵素の活性が出現し始めるこの時期に、神経筋終板の AChE 活性も再生筋

線維辺縁に軽度に出現する(写真29)。 なお AcPase や 5'-N 活性は、再生筋原線維には全く認められず、筋線維間間質にみられるのみである(写真28,30)。

## 5. 成熟しつつある再生筋線維 (8~10日後)

この段階の再生筋線維における methyl greenpyronine 染色では核周囲に軽度のピロニン好性を残すのみとなる(写真31)。LDH, SDH, aldolase, myosin ATPase, CPK, AChE などの活性は正常筋線維とほぼ同様の強度を呈するようになる(写真34)。また G-6-PDH の活性は正常筋線維に比べると軽度ながら増加している(写真36)。なおそれまでにはほとんど認められなかった PhR 活性も出現し、筋線維がtype I・II に分化して、筋肉に本来見られるモザイク状パターンが再現する(写真35)。なお AcPase, AlPase, 5′-N などの活性は全く存在しない(写真37)。

6. 再生のほぼ完了した再生筋線維 (10日以後) 正常筋線維と同様の酵素活性を呈するようになる (写真38, 39, 40)。

以上,変性から再生に至る過程の筋線維を酵素組織化学的に追求した結果,酵素活性の推移は形態的変化の推移に概ね歩調を揃えていると言える。また3ヶ月後に一部の切片で再検も兼ねて LDH, SDH, myosin ATPase 染色を行ったところ,前回とほぼ同様の反応強度の所見が得られた(写真3)。このことから,活性の強い酵素反応では,新鮮な切片と3ヶ月保存の

表 1 変性、壊死から再生に至る過程の筋線維における酵素組織化学的成績

	変性筋線維 壊死筋線維 (1-2日)	myogenic cell (3 — 4 日)	幼若再生筋線維 (myotube) (5-7日)	成熟しつつある 再生筋線維 (8-10日)	成熟再生筋線維 (10日以後)
LDH	±	+	#	##	#
SDH	土	+	#	##	-{  -
NADH-DH	土	土	+	#	#
G-6-P D H	土	_	土	+	土
aldolase	土		+	++	#
CPK	±	-	+ .	#	#
myosin ATPase	土	+	#		#
Ph R	_	_		+	++-
AcPase			_		
AlPase	±		土	-	
AChE	土	_	+	#	#
5'-N		_		-	-
pyronine 好性	-	##	#	+	_

(注:( )内は DPPD 投与後の日数)

切片間における反応の強度差を明確に識別することは できなかった。表1に全経過中の酵素反応を中心とし た染色結果を示す。

#### Ⅳ 老 寒

A 筋の変性から再生に至る過程の酵素 組織化学について

筋原性疾患では、その初期にしばしば横紋の消失で始まる筋線維の変性が存在するが、本実験でも DPPD 投与1日後にこの変性が生 じ始める。筋線維の変性は、H.E. 染色ならびに modified trichrome 染色などの一般染色によっても判別できるが、それにはおのずから限界があり、むしろ酵素組織化学的染色所見が変性等の変化を知るのには有用であることが再認識された。

なかでも PhR 染色は武内ら26)によって筋線維の変化を見るのに重要な酵素の1つと強調されており、ヒト胎児剖検例では myosin ATPase などが陽性であっても、時に PhR 活性がない27)とか、筋に対する外傷実験で H. E. 染色では病変が明瞭に識別されないのにPhR 活性減少部がみられる28)などの報告がある。本実験における検索でもこれとはやや異なるけれど、PhR も活性について興味ある所見を得た。

第1に type I fiber の PhR 反応は, 正常時陰性では筋線維の横断面で筋小胞体に一致した<sup>29)</sup> interfibrillar network の網目構造を認めるが, 変性に陥った筋線維ではこの構造が全くみられず洗われたような陰性所見を呈することである。

第2には、type I fiber の変性筋線維における LDH や SDH などの反応と PhR 反応の差が著しいこ とである。 すなわち LDH や SDH は PhR と同様に ラットでは筋小胞体にもその活性が高いといわれる<sup>30)</sup> が、変性筋線維において前者では不規則な染色結果が みられるのに対して、後者では前述の如くその網目構 造が全くなく洗われたような完全陰性の所見を呈する ことである。

第3には、modified trichrome 染色や LDH、SDH や myosin ATPase などの酵素染色では著変のみられない type II fiber において、細胞浸潤の強い病巣に接し PhR 活性が辺縁より帯状に消失している所見を呈することである。この PhR 活性消失は、切片がグリセリン封入のため一部剝離によるものかとも考えられたが、このように辺縁が帯状に消失する現象は細胞浸潤が強い病巣に接した筋線維のみに生じ、その他

の type II fiber には全く存しないし、注意深く検鏡しても切片が剝離した様子は全く認められない。 従って人工的な陰性所見ではなく、筋線維の辺縁部にPhR 活性消失が起こり始めたものと判断できる。

このように一般染色では変性を判定できない時期の 筋線維において、PhR 活性消失という機能面の変化 が純形態面の変化に先行すること、また変性の進行過 程において他の酵素に先がけて PhR 反応の活性が消 失することなどから、筋線維の変化を早期に知るため には種々の酵素組織化学反応の中でも特に PhR 活性 の検索を行うことが重要である。

Smith<sup>28</sup>)は筋肉に障害が起こった際エネルギー産生機構の初期変化は、解糖系に依存するものより酸化還元系に依存するものが多いとしているが、前述の如く本実験でも酵素組織化学的に PhR 活性消失現象が、筋線維変性の初期像であるという結果を得ている。 DPPD 筋障害の電顯所見で、まず最初に筋小胞体の拡張が生じ、次いでミトコンドリアが膨化するという報告 <sup>7)</sup>があるが、これらの電顕レベルでの変化は、PhR 染色での網目構造の喪失とか PhR および LDH、SDH 染色における活性の消失や不規則な分布などという光顕レベルでの初期変化に対応する像と思われる。

AlPase は膜の active transport に関与し、代謝 の盛んな部位で亢進する31)といわれる。本実験例で は、炎症性細胞浸潤の強い部に点在する変性過程にあ る筋線維にごく軽度の AlPase 活性が存し、若干の代 謝の亢進があることがらかがわれるが、これは変性に 陥る途中の異常代謝によるものと推測される。今回の AlPase染色では、毛細血管は強い活性を呈しており それに比べて筋線維はごく軽度の活性しか示さなかっ た。筋炎などの際に強い AlPase 活性があるという Engelら32)の報告とはいささか異なった成績である。 一方酸性側で働く AcPase は lysosome の marker として利用されるが、正常筋線維にはその活性がな い31)。本実験例では、貪食細胞には強い活性がみら れ、さらに対照として用いた肝、腎の凍結切片におい ても陽性所見が得られたにもかかわらず、正常筋線維 ならびに変性、壊死筋線維は AcPase 活性を示さなか った。文献的には,筋炎などの筋疾患で AcPase 活性 は低下あるいは増加するなどの成績28)33)-35)もある が、一定せず、明確な解釈はなされていない。

筋線維が壊死を生ずる筋疾患では多くの酸化還元系 酵素の喪失があるといわれ<sup>28)36)</sup>, 本実験においても変 性から急速に壊死に陥り、LDH、SDH、NADH-DH、G-6-PDH、aldolase、PhR、CPK などの活性がほとんど消失した。しかしその際、貪食されている壊死筋線維において、myosin ATPase 活性が斑点状になお残存している部がある。この現象は、この酵素が筋細胞中で局在する部位が他の酵素とは異なっており、また酵素活性自体も本来強く且つ比較的安定していることを示している。すなわち、貪食された際にミトコンドリアや筋小胞体はすでに破壊され、LDH、SDH、PhRなどの活性は消失しているが、一方 myosin ATPaseは大部分が actomyosin に局在する<sup>87)</sup>ため筋原線維が完全に消失するまでその活性が残存するのであろう。

次に Beckett ら³³)は、AChE 活性の所見から、筋線 維の変化が著しい場合でも神経筋終板は生きのびるの ではないかと述べているが、本実験でも AChE 活性 について示唆的な所見を得た。すなわち、諸種の酵素 活性がほとんど消失するような筋線維の壊死期におい ても、AChE 活性部が細胞浸潤巣の中に散在性に残存 していることである。DPPD 筋障害の電顕所見つで も神経筋終板は比較的よく保たれており、この斑点状 活性部は筋線維が破壊されても、その部の神経筋終板 にはその機能がある程度保持されていることを示唆し ていると思われる。

再生初期には、壊死筋線維の残った筋鞘下に、核小 体の大きな嚢胞状の核を有し、細胞質が著明なピロニ ン好性で、胞体内での RNA 合成が亢進していること がうかがわれる単核の細胞 (myogenic cell) が多数 出現する。本実験ではこのような細胞を myogenic cell と呼んだが、形態的性状からそのまま mononucleated cell と名付ける人38)-40)や, 発生時の名称 に従って myoblast と称する意見41)42)もある。この myogenic cell の核周囲には, LDH, SDH などの活 性が軽度に出現し始めている。電顕的にも核酸合成 に関与すると思われるリボゾーム、ポリゾームと若干 のミトコンドリアの存在が確認されておりり、この LDH, SDH などの活性陽性の所見は胞体内における RNA 合成と歩調をそろえている。 Smith<sup>28)</sup>や Engel 43)は筋線維断端部の細い再生筋線維での諸種の酵素の 活性上昇を報告しており、さらに鶏胚の myocyte に おける SDH 活性上昇44)や筋肉発生中の核蛋白の変化 に伴ったミトコンドリア内の呼吸系酵素の活性上昇 などの報告45)があるが、これらはいずれも筋線維増生 に必要なエネルギーの供給が亢進しつつある事を示し

ているものと考えられている。myogenic cell には LDH, SDH などの他に myosin ATPase 活性が核 周囲にごく軽度にみられる。このような myogenic cell には、電顕的にも種々の段階の myofilament が 出現してきており、myosin ATPase 弱陽性の所見は それの酵素組織化学的表現であると思われる。

5~7日後に、myogenic cellによって形成される 再生筋線維では、成熟するにつれて筋線維における LDH、SDH、NADH-DH、aldolase、CPK、myosin ATPase などの酵素活性が徐々に増加してくるが、これに反比例するように胞体のピロニン好性が減少し、 核周囲に限局するようになってくる。このピロニン好 性が核周囲に限局してくることは、胞体内で筋原線維 の形成が進むにつれ、蛋白合成に関与するリボゾーム、ポリゾームが核周囲に圧排され局在してくるった めと考えられる。

この再生筋線維の酵素活性で正常筋線維と比較して 注目すべき点が3つある。ひとつは、比較的細い幼若 な再生筋線維に AIPase 活性がみられたことである。 再生筋線維でも細い径のものに認められ、ある程度太 くなったものには認められないということから、細い 径のものほど再生現象における筋原線維の合成が盛ん で、代謝の亢進が著しい状態にあることがうかがわれ る。

第2には、再生筋線維における PhR 活性の出現時 期についてである。Smith28)は再生筋線維で PhR 活 性は形態的回復につれて出現してくるといっている が、本実験の成績ではこれとはやや異なり、諸種の酵 素の中で PhR 活性のみが形態的回復より遅れて出現 してくる。すなわち、初期の再生筋線維は、PAS 染 色で interfibrillar network 様の網目構造が若干出 現し、筋原線維の表す構造が生じ始めており、さら に LDH, SDH, NADH-DH, myosin ATPase や CPK ならびに神経筋終板の AChE などの活性が出現 している。それにも拘わらず、PhR 活性の出現は全 くみられないことが注目される。 ちなみに CPK は解 糖系酵素の多い白筋に豊富46)で、PhR 同様筋小胞体 に局在している18)。これは PhR が筋肉の解糖系で最 も重要な酵素である47ためか、筋線維がその基本構造 を形成し諸酵素の活性が出そろった時期に、その活性 がはじめて出現し、筋組織に本来みられるモザイク状 パターンが再現すると思われる。

第3に、本実験では再生筋線維に G-6-PDH が軽度ながらその活性を増していることである。 G-6-PDH

は筋線維には比較的乏しい酵素48)で正常筋線維での染色性は弱い。再生筋線維では G-6-PDH の比較的強い活性があるという Smith の報告28)とは若干異なっているが、本実験例の再生筋線維においても正常筋線維とはやや異なった代謝が営まれている可能性がある。

再生筋線維に PhR 活性が出現した後も,その成熟 過程はさらに進み,注射後10日過ぎには諸種の酵素活 性が正常筋線維と同様になり,機能,形態両面での再 生が完了することになる。

## B 実験的筋障害の再生過程と胎生期の 筋発生との比較について

本実験では、myogenic cell の出現後3~5日目 には幼若再生筋線維に神経筋終板の指標となる AChE 活性が出現し、約10日後には完全に分化した成熟再生 筋線維が形成される。一方、ラットは交尾後約21日で 生まれる40)が、その際筋線維は type I・II に分化し ておらず、生後7~10日で分化が完了して特有のモ ザイク状パターンを示す27)。もっとも、ミトコンドリ アは胎生14日頃にはかなり発達してきており45), また 神経筋終板の AChE 活性は16日までには出現してい る49)50)といわれる。成熟個体における筋線維の再生過 程と胎生期における筋線維の発生過程をいきなり比較 することは適当ではないかもしれないが、単なる時間 的経過だけで比較すると、再生における筋線維の形成 が約10日間で完成するのに比べ、正常発生においては 生後の10日を含め約30日間で筋線維の形成が完了する ことになり、筋線維形成の速度は再生の場合の方が発 生の場合のそれよりも早いと言える。ただし、本実験 の筋障害では壊死筋線維の筋鞘や神経筋終板が比較的 よく保存されていることを、忘れてはならない。

宇尾野<sup>51)</sup>はヒト胎児の種々の段階における筋線維が呈する諸酵素の活性出現経過を詳細に報告しているが、本実験の再生過程をそれと比較してみると、myotube での PhR 活性が他の酵素より遅れて出現することや AlPase 活性が徐々に消失することなどはよく一致している。一方やや異なった点としては、ヒト胎児では4ヶ月まで aldolase 活性が myotube の核に強く、ラットの再生筋線維では筋原線維に強く、核にはごく軽度にしかみられない点と、AcPase 活性が全くない点である。これはヒトとラットの種差によると思われる。

いずれにせよ、本実験の再生過程における酵素組織 化学的所見は、これらラットやヒトの胎生期の酵素発 現過程によく類似しており、組織形態学的な面だけで なく酵素組織化学的な面においても "embryological type of regeneration" 67が認められる。

# C 筋線維の分化によるモザイク状パターンの形成と神経支配について

一般に動物の発生に際して、筋線維型に関しては種差があるが、いずれも最初未分化であり52)-54)、発生初期には神経筋終板の AChE 活性はみられず55)-57)、LDH、SDH、aldolase、myosin ATPase などの酵素活性が出現し始める頃に AChE 活性もみられるようになり50)50)の。その後に筋線維の型が分化してモザイク状パターンが出現する。このような点などからみても、正常の筋線維の型分化には神経が何らかの影響50)61)を与えていることが考えられ、さらに cross-innervation の実験によって、神経が筋線維の分化だけではなく代謝にも関与していることが報告620630 されている。

本実験では細胞浸潤の強い部にも AChE 活性が斑 点状にみられ、電顕所見でも筋鞘は破壊されないで残 存し"),神経筋終板も比較的よく保たれている。そし て再生筋線維が発現し始める頃には、神経筋終板は早 くも回復し AChE 活性が出現する。 しかしながらこ の頃には、筋線維の型分化が完了したことの指標とな るモザイク状パターンはみられず、それより約2日程 遅れて出現してくる。すなわち、再生の際にも発生の 場合と同様に、神経筋終板の出現の方が筋線維型の分 化に先んじているので、再生筋線維の型分化にも神経 が何等かの役割を演ずるのではないかと推測される。 Allbrook と Aitken<sup>64)</sup>や Zelená<sup>65)</sup>も筋線維の再生 に神経支配の重要性を認めてはいるが、型分化には 筋細胞自体の内因的な要素66)の関与も否定できず、現 状では再生筋線維の型分化のメカニズムは完全に解明 されてはいない。今後は幼若再生筋細胞の組織培養や 神経切断筋などを使用した巾広い検索が必要である う。

## D DPPD の作用機序について

一般に筋原性疾患ではいずれの型の筋線維が障害されるかは一定していないが<sup>26)</sup>, toxin などを使用した場合には、いずれかの型の筋線維に変性が生じやすいようで、本実験の DPPD では type I fiber の方が比較的多く障害され、vincristine<sup>9)や</sup> cortison<sup>28)67)</sup>では主に type II fiber が侵される。本実験で type I fiber が比較的多く障害される理由は、現在のところ速断はできない。

本実験では DPPD 投与後初期病変の1つとして,

筋線維の辺縁で帯状に PhR 活性が消失する像がみられる。使用された DPPD は、浮腫を発現させる実験にしばしば使用され、その作用機序は毛細血管の透過性を高めることにあるといわれている<sup>68)</sup>が、さらに基底膜や間質物質に含まれるムコ多糖類の hydrationをおこすことから、膠原病病変の実験的生成<sup>60)</sup>にも使用される。このような点から、本実験においては、DPPD が毛細血管レベルでの循環障害をひきおこし、ミトコンドリア系の酸化還元系酵素の豊富な type I fiber が type II fiber よりも局所的な虚血状態に敏感で、そのため type I fiber に変性を生じやすいということも考えられる。勿論、筋線維に対する DPPDの直接の作用や、筋線維型による毒親和性の関与も除外することはできない。

## E 筋の酵素組織化学的反応について

一般に凍結切片では、酵素活性は -70°C で最高 2 週間保存できるといわれているが<sup>52)</sup>、-80°C に密封保存した切片を LDH、SDH、myosin ATPase などについて3ヶ月後に再検したところ、光顕的には切片製作2週間以内のものとほぼ同程度の反応強度が得られた。切片の保存方法を適当にすれば、2~3ヶ月程度の期間内の光顕的観察においては、強い活性を呈する酵素はその染色が可能であると考えられる。

今回の検索では、AcPase と 5'-N はその活性をいずれの時期の筋線維にも認めることができなかった。AcPase は筋線維には本来その活性がなく31)58)、筋炎などで活性を示す場合でも染色成績が不安定28)39)-35)といわれ、現在のところ病因と AcPase についての明確な説明はない。AcPase は、本実験の種々の時期において筋線維にはその活性を認めなかったが、これを陰性と断定するためには、今後さらに検討をする必要がある。

一方、5′-N は一般には原形質膜にその活性が局在するため<sup>70)</sup>、筋線維周囲の間質には染色性を示すが、筋原線維にはそれがない<sup>31)43)58)71)</sup>。しかしながら、壊死筋線維や胎生期の筋線維には活性が認められるという報告<sup>58)71)</sup>もある。このように 5′-N は、AcPase と同様に、筋線維における染色性が不安定であるため、5′-N による筋疾患の性格付けは困難である。いずれにせよ、AcPase と 5′-N はともに前述したように、正常筋線維にはその活性がないとされ、活性のある場合でも染色成績が不安定であるため、筋線維の変性の指標に利用する酵素としては適当ではない。

## V 結 語

- 1. 実験的筋障害の際の筋線維の変性および再生時における機能表現としての酵素組織化学的反応は、 形態表現としての光顕および電顕所見にほぼ適合する。
- a) 筋線維の変性や壊死は type I fiber に比較的 多くみられ,その時期には LDH, SDH, NADH-DH, G-6-PDH, myosin ATPase, PhR, CPK などの酵 素活性が減少あるいは消失する。神経筋終板の斑点状 AChE 活性は細胞浸潤巣の部にも散在性に残存する。
- b) 再生初期には、壊死筋線維の筋鞘下にmyogenic cell が出現し、RNA 合成亢進による強度のピロニン好性を呈する。また LDH、SDH、NADH-DH などの酵素活性や myosin ATPase 活性が myogenic cell の核周囲に軽度にみられる。
- c) 再生中期では myogenic cell が相接し, 胎生期の myotube に類似した再生筋線維が形成される。 再生筋線維では LDH, SDH, NADH-DH, myosin ATPase などの活性はさらに強まり, aldolase, G-6-PDH, CPK, AChE などの活性も出現してくる。 しかしながら, 初期の幼若再生筋線維には PhR 活性はみられない。
- d)再生筋線維は成熟するとその巾を増し、LDH、SDH、NADH-DH、aldolase、myosin ATPase、CPK、AChE などの活性は正常筋線維とほぼ同様の強度になる。G-6-PDH の活性はごく軽度ではあるが、正常筋線維より増加する。また PhR 活性も明瞭となり、再生筋線維の type I・II が完全に分化しモザイク状パターンが再現する。
- e) 筋線維の変性から再生までの過程中, PhR 活性はいずれの酵素よりも最初に消失し, また最後に出現してくる。
- f) AlPase 活性は変性筋線維や再生筋線維の一部 に軽度にみられる。
- 2. 実験的筋障害の再生過程は、胎生期の筋発生に 比較して、その経過は早いが諸酵素の発現推移の過程 は胎生期のそれとほぼ同様で、酵素組織化学的にも "embryological type"の再生としての所見が得られ る。
- 3. DPPD による筋障害発現の機序としては、毛 細血管レベルでの循環障害も関与していると考えられ る。
  - 4. 筋線維における AcPase や 5′-N 染色は不安定

のため、その染色成績のみでは筋疾患の性格付けには 利用できない。

本論文の一部は第65回 (1976年5月) 日本病理学会総会,第19回 (1978年11月) 日本組織細胞化学会総会および第68回 (1979年4月) 日本病理学会総会において発表した。

稿を終わるに当たり、懇切なる御指導、御校閲を賜った恩師那須 毅教授に深謝いたします。 また多大な御教示を頂いた生化学教室橋本 隆教 授、当教室発地雅夫助教授、勝山 努講師、酒井 康弘博士 (現皮膚科) ならびに病理学教室の諸兄 に感謝いたします。

#### 

- 1) 渡辺 裕:病理学各論 II. 鈴江 懷, 小林忠義 編集, pp. 1090-1095, 医学書院, 東京, 1976
- Adams, R. D.: Disease of Muscle, 3rd. Ed., pp. 316-375, Harper and Row, New York, 1975
- Hicks, S. P.: Brain metabolism in vivo. II.
   The distribution of lesions caused by azide,
   malononitrile, plasmocid and dinitrophenol
   poisoning in rats. Arch. Path., 50: 545-561,
   1950
- Eadie, M. J. and Ferrier, T. M.: Chloroquine myopathy. J. Neurol. Neurosurg. Psychiat., 29:331-337, 1966
- 5) Augano, A. J. and Hudgson, P.: Observations on the short-term effects of chloroquine on skeletal muscle. An experimental study in the rabbit. J. Neurol. Sci., 11: 301-325, 1970
- Jasmin, G.: Histopathological study of muscle lesions produced by paraphenylenediamine in rats. Brit. J. exp. Path., 42:592— 596, 1961
- Sakai, Y: Experimental studies on the role of satellite cells in regeneration of rat skeletal muscle fibers. Acta Path. Jpn., 27:305-320, 1977
- Somers, J. E. and Winer, N.: Reversible myopathy and myotonia following administration of a hypocholesterolemic agent. Neurology, 16: 761-765, 1966
- Clark, J. T. R., Karpati, G., Carpenter, S. and Wolfe, L. S.: The effect of vincristine

- on skeletal muscle in the rat. J. Neuropath. exp. Neurol., 31: 247-266, 1972
- 10) Ellis, J. T.: Necrosis and regeneration of skeletal muscles in cortisone-treated rabbits. Am. J. Path., 32: 993-1013, 1956
- 11) Heene, R.: In "Experimental Myopathies and Muscular Dystrophy", Bauer, H. J., Gänshirt, H. and Vogel, P. (eds.), pp. 15— 58, Springer-Verlag, Berlin and Heidelberg, 1975
- 12) 小林忠義:病理学総論. 鈴江 懷,小林忠義編集, pp. 426-438, 医学書院,東京,1975
- 13) Engel, W. K. and Cunningham, G. G.: Rapid examination of muscle tissue. An improved trichrome method for fresh-frozen biopsy sections. Neurology, 13: 919-923, 1963
- 14) 森 昌彦: 酵素組織化学. 武内忠男, 清水信夫, 小川和朗編集, pp. 112-124, 朝倉書店, 東京, 1974
- 15) Nachlas, M. M., Tsou, K. C., De Souza, E., Chang, C. S. and Seligman, A. M.: Cytochemical demonstration of succinic dehydrogenase by the use of a new p-nitrophenyl substituted ditetrazole. J. Histochem. Cytochem., 5: 420-436, 1957
- 16) Rudolph, G. and Klein, H. J.: Histochemische Darstellung und Verteilung der Glucose-6phosphate-dehydrogenase in normalen Rattenorganen. Histochemie, 4:238-251, 1964
- 17) Farber, E., Sternberg, W. H. and Dunlap, C. E.: Histochemical localization of specific oxidative enzymes; tetrazolium stains for diphosphopyridine nucleotide diaphorase and triphosphopyridine nucleotide diaphorase. J. Histochem., 4:254-265, 1956
- 18) 岸野泰雄, 勝瀬 烈, 檜沢一夫: Creatine kinase の組織化学的証明法とその組織内分布. 医学と生物, 78:113-118, 1969
- 19) 武内忠男:組織化学的観点よりみた組織内グリコーゲン合成とその臨床病理学的応用. 臨病理, 9:28-35, 1961
- 20) Gomori, G.: Distribution of acid phosphatase in tissues under normal and under pathologic conditions. Arch. Path., 32: 189-199, 1941

- 21) Gomori, G.: Microtechnical demonstration of phosphatase in tissue sections. Proc. Soc. exp. Biol., 42: 23-26, 1939
- 22) Wachstein, M. and Meisel, E.: Histochemical demonstration of 5-nucleotidase activity in cell nuclei. Science, 115:652-653, 1952
- 23) Padykula, H. A. and Herman, E.: Factors affecting the activity of adenosine triphosphatase and other phosphatases as measured by histochemical techniques. J. Histochem. Cytochem., 3:161-169, 1955
- 24) Karnovsky, M. J. and Roots, L.: A direct-coloring thiocholine method for cholinester-ases. J. Histochem. Cytochem., 12: 219-291, 1964
- 25) Abe, T. and Shimizu, N.: Histochemical method for demonstrating aldolase. Histochemie, 4:209-212, 1964
- 26) 武内忠男, 白石幸明, 内田守一, 矢野敬信, 宮崎 泰起, 徳臣晴比古, 岡田高明, 窪田 陽:神経筋 疾患における筋線維の酵素反応, 特に phosphorylase 反応を中心としての観察. 熊本医誌, 41: 10-24, 1967
- 27) Dubowitz, V.: Enzymatic maturation of skeletal muscle. Nature, 197: 1214-1215, 1963
- 28) Smith, B.: Histochemical changes in muscle necrosis and regeneration. J. Path. Bact., 89: 139-143, 1965
- 29) 武内忠男:酵素組織化学. 武内忠男,清水信夫,小川和朗編集, pp. 455-461,朝倉書店,東京, 1974
- 30) Fahimi, H. D. and Amarasingham, C. R.: Cytochemical localization of lactic dehydrogenase in white skeletal muscle. J. Cell. Biol., 22: 29-48, 1964
- 31) 水谷 昭:酵素組織化学,武内忠男,清水信夫,小川和朗編集,pp. 284-313, 朝倉書店,東京,1974
- 32) Engel, W. K. and Cunningham, G. G.: Alkaline phosphatase-positive abnormal muscle fibers of humans. J. Histochem. Cytochem., 18:55-57, 1970
- 33) Beckett, E. B. and Bourne, G. H.: In "Structure and Function of Muscle, Vol. 1.",

- Bourne, G. H. (ed.), pp. 275-320, Academic Press, New York and London, 1960
- 34) Wolf, A., Kabat, E. A. and Newman, W.: Histochemical studies on tissue enzymes. III. A study of the distribution of acid phosphatases with special reference to the nervous system. Amer. J. Path., 19: 423-439, 1943
- 35) Beckett, E. B. and Bourne, G. H.: Some histochemical observations on enzyme reactions in goat foetal cardiac and skeletal muscle and some human foetal muscle. Acta anat., 35: 224-253, 1958
- 36) Jasmin, G.: Histochemical studies on denervation, chemically induced and hereditary forms of myopathies. Ann. N. Y. Acad. Sci., 138: 186-198, 1966
- 37) Samaha, F. J.: Human striated muscle myofibrils and actomyosin. Neurology, 17: 1152 -1158, 1967
- 38) Lash, J. W., Holtzer, H. and Swift, H.:

  Regeneration of mature skeletal muscle.

  Anat. Rec., 128: 679-697, 1957
- 39) Pietsch, P.: The effect of colchicine on regeneration of mouse skeletal muscle. Anat. Rec., 139: 167-172, 1961
- 40) Allbrook, D.: An electron microscopic study of regenerating skeletal muscle. J. Anat., 96: 137-152, 1962
- 41) Shafiq, S. A., Gorycki, M. A. and Milhorat, A. T.: An electron microscopic study of regeneration and satellite cells in human muscle. Neurology., 17: 567-574, 1967
- 42) Hess, A. and Rosner, S.: The satellite cell bud and myoblast in denervated mammalian muscle fibers. Am. J. Anat., 129: 21-40, 1970
- 43) Engel, W. K.: The essentiality of histo- and cytochemical studies of skeletal muscle in the investigation of neuromuscular disease. Neurology, 12: 778-794, 1962
- 44) Germino, N. I., D'Albora, H. and Wahrmann, J. P.: Succinic dehydrogenase in the development of the skeletal muscles of chicks.

## DPPD 筋障害病変の酵素組織化学的観察

- Acta anat., 62: 434-444, 1965
- 45) Shen, S. C.: Development of respiratory enzymes in rat muscle. Anat. Rec., 105: 489, 1949
- 46) Colombo, J. P., Richterich, R. and Rossi, E.: Serum-Kreatine-Phosphokinase: Bestimmung und diagnotische Bedeutung. Klin. Wschr., 40:37-44, 1962
- 47) 字尾野公義: 筋生検と組織化学-正常像及び病態 像-. 日臨, 22:57-79, 1964
- 48) Ogata, T. and Mori, M.: Histochemical study of oxidative enzymes in invertebrate muscles. J. Histochem. Cytochem., 12: 183-187, 1964
- 49) Kupfer, C. and Kolle, G. B.: A histochemical study of cholinesterase during formation of the motor end plate of the albino rat. J. exp. Zool., 116:397-401, 1951
- 50) Zelena, J.: Development of acetylcholinesterase activity at muscle-tendon junction. Nature, 205: 295-296, 1965
- 51) 宇尾野公義: ミオパチーの組織化学. 臨病理, 17 : 421-432, 1969
- 52) Nystrom, B.: Succinic dehydrogenase in developing cat leg muscles. Nature, 212:954-955, 1966
- 53) Dubowitz, V.: Enzyme histochemistry of skeletal muscle. I. Developing animal muscle. J. Neurol. Neurosurg. Psychiat., 28: 516 -519, 1965
- 54) Dubowitz, V.: Enzyme histochemistry of skeletal muscle. II. Developing animal muscle. J. Neurol. Neurosurg. Psychiat., 28: 519 -524, 1965
- 55) Hirano, H.: A histochemical study of the cholinesterase activity in the neuromuscular junction in developing chick skeletal muscles. Arch. Histol. Jpn., 28:89-101, 1967
- 56) Kelly, A. M. and Zack, S. I.: The fine structure of motor endplate morphogenesis. J. Cell Biol., 42: 154-169, 1969
- 57) Teräväinen, H.: Development of myoneural junction in the rat. Z. Zellforsch. Mikr. Anat., 87:249-265, 1968

- 58) Beckett, E. B. and Bourne, G. H.: In "Structure and Function of Muscle, Vol. 1.", Bourne, G. H. (ed.), pp.87-109, Academic Press, New York and London, 1960
- 59) Khera, K. S. and Laham, Q. N.: Cholinesterases and motor end-plates in developing duck skeletal muscle. J. Histochem. Cytochem., 13:559-565, 1965
- 60) Buller, A. J., Eccles, J. C. and Eccles, R. M. : Differentiation of fast and slow muscles in the cat hind limb. J. Physiol., 150:399— 416, 1960
- 61) Guth, L.: "Trophic,, influence of nerve on muscle. Physiol. Rev., 48: 645-687, 1968
- 62) Romanul, F. C. A. and Meulen, J. P. V. D.: Reversal of the enzyme profiles of muscle fibers in fast and slow muscles by crossinnervation. Nature, 212: 1369-1370, 1966
- 63) Dubowitz, V. and Newman, D. L.: Change in enzyme pattern after cross-innervation of fast and slow skeletal muscle. Nature, 214: 840-841, 1967
- 64) Allbrook, D. B. and Aitken, J. T.: Reinnervation of striated muscle after acute ischemia. J. Anat., 85: 376-390, 1951
- 65) Zelená, J.: In "The denervated muscle", Gutmann, E. (ed.), pp. 103-126, Publishing House of Czechoslovakian Academy of Science, Prague, 1962
- 66) 石川春律: 筋の構造と機能, 酒井敏夫, 遠藤 実, 杉田秀夫編集, pp. 411-432, 医学書院, 東京, 1977
- 67) Ellis, J. T.: Necrosis and regeneration of skeletal muscles in cortisone-treated rabbits. Am. J. Path., 32: 993-1013, 1956
- 68) Tainter, M. L. and Hanzlik, P. J.: The mechanism of edema production by paraphenylenediamine. J. Pharm. exp. Ther., 24: 179-211, 1925
- 69) Geschickter, C. F., Athanasiadou, P. A. and O'Malley, W. E.: The role of mucinolysis in collagen disease. Am. J. clin. Path., 30:93— 111, 1958
- 70) 斎藤多久馬:新組織化学,小川和朗,武内忠男,

森富編集, pp. 237-238, 朝倉書店, 東京, 1975

71) Beckett, E. B. and Bourne, G. H.: 5-nucleotidase in normal and diseased human skeletal muscle. J. Neuropath. exp. Neurol., 17: 199-204, 1958

(54.8.28 受稿)

## DPPD 筋障害病変の酵素組織化学的観察

## 写真説明

- 写真1,13,14,17,18,31はパラフィン切片で,他は凍結切片。
- 写真 1. H.E. 染色, ×400。DPPD 投与後 1 日の変性筋線維。横紋が消失し硝子様変性を生じている。 周 囲には炎症性細胞浸潤がみられる。
- 写真 2. modified trichrome 染色、×400。DPPD 投与後1日の変性筋線維。中央部にみられる変性筋線維は、周囲の残存筋線維と異なって、不規則な雲塊状の淡い染色性を呈する。
- 写真 3. (左側) LDH 染色、×400。写真2の部。変性筋線維は不規則な活性分布を呈する。筋線維辺縁の 濃染部はミトコンドリアの多い部分。(右側) SDH 染色、×400。切片作製3ヶ月後に SDH 染色を 施行した写真2の部。LDH 染色と同様に不規則な活性分布を呈する。酵素活性は3ヶ月間の保存で も比較的よく保たれている。
- 写真 4. PhR 染色, ×400。写真2の部。中央の変性筋線維には網目状構造が全くみられず洗われたような陰性所見を呈する。右上部の type I fiber は、陰性ではあるが網目状構造はなお認められる。
- **写真 5.** modified trichrome 染色, ×400。 DPPD 投与後 2 日。変性から壊死に陥りつつある筋線維で, **食食がおこり始めている。**
- **写真 6.** SDH 染色, ×400。写真 5 の部。左側は壊死に陥り貪食され始めている type I fiber で,活性がほとんど消失している。右上部は type I fiber,中央と右下部は残存した type II fiber。
- 写真 7. modified trichrome 染色, ×200。DPPD 投与後 2 日。著しい炎症性細胞浸潤と,壊死筋線維の著明な貪食像(矢印)。
- 写真 8. myosin ATPase 染色, ×200。 写真 7 の部。 貪食細胞中の壊死筋線維の残屑に myosin ATPase 活性がみられる (矢印)。
- **写真 9.** PhR 染色, ×200。写真 7 の部。 細胞浸潤の強い病巣に接した type II fiber で, PhR 活性が辺縁より帯状に消失している (矢印)。
- 写真10. AlPase 染色、×200。DPPD 投与後2日。 細胞浸潤の強い病巣にある変性筋線維(矢印)にごく 軽度の AlPase 活性を認める。毛細血管や一部の浸潤細胞に強い、AlPase 活性がみられる。
- 写真11. AcPase 染色、×200。写真10の部。 浸潤細胞には強い AcPase 活性を認める。変性筋線維(矢印)を含めて、いかなる筋線維にも AcPase 活性はみられない。
- 写真12. AChE 染色、×400。DPPD 投与後2日。細胞浸潤の強い病巣部に、AChE の斑点状活性部を散在性に認める。
- 写真13. H.E. 染色, ×200 (枠内, ×400)。DPPD 投与後4日。核小体の大きな嚢胞状の核を有し細胞質 が塩基好性を呈する myogenic cell が, 浸潤細胞とともに, 残存筋線維周囲に多数認められる。枠 内は拡大像で, myogenic cell が相接している像がみられる。
- 写真14. methyl green-pyronine 染色, ×400。DPPD 投与後4日。myogenic cell (矢印) の胞体は強い ピロニン好性を呈している。
- 写真15. modified trichrome 染色, ×400。 DPPD 投与後4日。 残存筋線維の周囲に, 多数の myogenic cell (矢印) を認める。
- 写真16. (左側) SDH 染色, ×400。写真15の部。myogenic cell の胞体には, SDH 活性を軽度に認める。 (右側) myosin ATPase 染色, ×400。DPPD 投与後4日。myogenic cell の胞体は, myosin ATPase 活性を軽度ながら呈する。
- 写真17. H.E. 染色, ×200。DPPD 投与後6日。胎生期の myotube に類似した多核の幼若な再生筋細胞 (矢印)が出現する。中央で核が数珠玉状につながり、その両側に再生筋原線維が走っている。写真 下部は残存筋線維。
- 写真18. methyl green-pyronine 染色, ×400。写真17の部。再生筋細胞には中等度のピロニン好性を認める。

- 写真19. modified trichrome 染色, ×200。DPPD 投与後6日。 幼若再生筋線維で、核が中央に位置している。
- **写真20.** PAS 染色, ×400。写真19の部。 筋線維の横断面における PAS 陽性の interfibrillar network は完全には完成していない。
- 写真21. SDH 染色, ×200。写真19の部。再生筋線維に中等度の活性を認める。写真中央下部は, type II fiber の残存筋線維である。
- 写真22. NADH-DH 染色, ×200。写真19の部。再生筋線維に中等度の活性を認める。
- 写真23. aldolase 染色, ×200。写真19の部。 再生筋線維は中等度の活性を呈し、一部核にも軽度の陽性がある。
- 写真24. CPK 染色, ×200。写真19の部。再生筋線維は軽度の活性を呈する。
- 写真25. myosin ATPase 染色、×200。写真19の部。再生筋線維は中等度の活性を示す。
- 写真26. PhR 染色, ×200。写真19の部。再生筋線維には、PhR 活性がない。下方の type I・II fiber は 陽性である。
- 写真27. AlPase 染色、×200。写真19の部。比較的細い再生筋線維に中等度の AlPase 活性を認める (矢印)。
- 写真28. AcPase 染色、×400。写真19の部。再生筋線維には AcPase 活性が全くない。 間質には活性を呈する細胞が若干残存している。
- **写真29**. AChE 染色, ×200 (枠内は拡大像, ×400)。写真19の部。 再生筋線維の神経筋終板に AChE 活性 (矢印) を中等度に認める。
- 写真30. 5'-N 染色, ×400。写真19の部。間質に 5'-N 活性を認めるが, 筋原線維には活性がない。
- 写真31. methyl green-pyronine 染色, ×200。 DPPD 投与後8日。 成熟しつつある再生筋線維。筋線維の巾が増し、ピロニン好性は核周囲に軽度にみられる。
- **写真32.** modified trichrome 染色, ×200。DPPD 投与後8日。成熟し巾も増大しつつある再生筋線維。 核は辺縁へ移動し始める。
- 写真33. PAS 染色, ×200。写真32の部。網目状の interfibrillar network がみられる。
- 写真34. SDH 染色, ×200。写真32の部。正常筋線維とほぼ同様の SDH 活性を呈する。
- 写真35. PhR 染色, ×200。写真32の部。PhR 活性によるモザイク状パターンが出現する。
- **写真36.** G-6-PDH 染色, ×200。 DPPD 投与後8日。 成熟しつつある再生筋線維で、中等度の G-6-PDH 活性を呈する。写真中央下部は残存した type II fiber。
- 写真37. AlPase 染色, ×200。写真32の部。再生筋線維には AlPase 活性が全くない。
- 写真38. LDH 染色, ×200。DPPD 投与後12日。ほぼ成熟した再生筋線維で, LDH 活性は正常筋線維とほぼ同様の強度を呈する。
  - ▼ は type I fiber で, は type II fiber を表し, 写真39の ▼, に対応する。
- 写真39. PhR 染色, ×200。写真38の部。PhR 活性が正常筋線維と同様になる。
- **写真40**. AChE 染色, ×400。DPPD 投与後12日。神経筋終板の AChE 活性は強度となる。

